

Д.М. Фреїк, А.М. Дмитрів, Л.Й. Межиловська, П.В. Жуковскі*

Особливості дефектної підсистеми монокристалів $Cd_{1-x}Zn_xTe$, $Cd_{1-x}Mn_xTe$

*Прикарпатський національний університет імені Василя Стефаника,
бул. Галицька, 201, м. Івано-Франківськ, 76000, Україна, E-mail: freik@pi.if.ua
*Люблінський технічний університет, 20-618 Люблін, Польща
E-mail: mario@elektron.pol.lublin.pl.*

На основі кристалоквазіхімічних підходів запропоновано механізми утворення твердих розчинів $n-Cd_{1-x}Zn_xTe$, $p-Cd_{1-x}Mn_xTe$. Розраховано концентрації точкових дефектів і носіїв струму.

Ключові слова: кадмій телурид, тверді розчини, кристалоквазіхімія, точкові дефекти, сфалерит.

Стаття поступила до редакції 17.05.2005; прийнята до друку 30.05.2005.

Вступ

$CdTe$ і тверді розчини на його основі є базовими матеріалами для напівпровідникових детекторів рентгенівського і гама випромінювання, які працюють без криогенного охолодження [1,2]. Відомо, що однією із вимог яка ставиться до детекторного матеріалу є його високоомність, яка досягається легуванням $CdTe$ елементами III, VII груп або ізовалентним заміщенням при утворенні твердих розчинів [3].

На величину провідності напівпровідників, у значній мірі, впливає компенсація власних точкових дефектів, яка зростає із збільшенням ширини забороненої зони. Для твердих розчинів $Cd_{1-x}Zn_xTe$ і $Cd_{1-x}Mn_xTe$ ширина забороненої зони із ростом складу x збільшується [4-6]. Зокрема, ширина забороненої зони $Cd_{0,95}Zn_{0,05}Te$, знайдена із оптичних вимірювань складає $E_g = 1,505$ еВ (300 К). Це погоджується з майже лінійною зміною E_g від 1,47 еВ для $CdTe$ до 2,26 еВ для $ZnTe$ [6]. Значення E_g знайдене для $Cd_{0,96}Mn_{0,04}Te$ складає 1,507 еВ [6].

Авторами [6] також досліджено механізми електропровідності на спеціально нелегованих монокристалах $Cd_{1-x}Zn_xTe$ ($x = 0,05$), $Cd_{1-x}Mn_xTe$ ($x = 0,04$) і $CdTe$ р-типу провідності. Виявлено акцепторні рівні з енергією іонізації $E_a = 0,54; 0,64; 0,68$ або $0,72$ еВ. Акцепторні рівні виявлені для твердого розчину $Cd_{1-x}Mn_xTe$ і в [7]. Природа цих рівнів зараз до кінця не встановлена і носить дискусійний характер. В роботі [8] були одержані кристали $n-Cd_{1-x}Zn_xTe$ з питомим опором до $10^{10} \div 10^{11}$ Ом·см при загальному надлишку металу. Оскільки надлишок над стехіометричним складом

металу створює власні донори, це повинно було би забезпечувати достатньо низький питомий опір кристалів і тому причина їх високоомності не зрозуміла. Автори [9] пояснюють зміну властивостей кристалів $Cd_{0,8}Zn_{0,2}Te$ різними формами існування фонові домішки кисню, концентрація якої у сполуках $A^{IV}B^{VI}$ може досягати 10^{19} см⁻³.

У даній роботі на основі кристалоквазіхімічних підходів утворення твердих розчинів $n-Cd_{1-x}Zn_xTe$, $p-Cd_{1-x}Mn_xTe$ запропоновано механізми і моделі точкових дефектів. Розраховані концентрації точкових дефектів і носіїв струму.

I. Експеримент

В роботі досліджувалися монокристалічні зразки $Cd_{1-x}Zn_xTe$ і $Cd_{1-x}Mn_xTe$ [10,11], вирощених із розплаву методом Бріджмена. Згідно даних рентгенографії, система $CdTe-ZnTe$ утворює неперервний ряд твердих розчинів (0,0–1,0) структури сфалериту. Параметр ґратки для $Cd_{1-x}Zn_xTe$ лінійно зменшується із складом (рис. 1, а). Ця залежність описується рівнянням: a , нм = $0,6472 - 0,04 \cdot x$, де x – мольна частка $ZnTe$.

Область твердих розчинів при 1070 К (фаза $Cd_{1-x}Mn_xTe$) знаходиться в межах від 0 до 71 мол. % $MnTe$ [12]. Зразки в межах 71,5–99,6 мол. % $MnTe$ були двофазними і містили фази $Cd_{1-x}Mn_xTe$ (ґратка типу сфалериту) і $Cd_yMn_{1-y}Te$ (структура типу $NiAs$). Концентраційні залежності параметра елементарної ґратки в області складу утворення твердого розчину $Cd_{1-x}Mn_xTe$ структури сфалериту показано на рис. 1, б. Залежність параметра a підпорядковується правилу Вегарда, тобто залежність $a(x)$ можна

описати лінійним рівнянням: $a, \text{нм} = 0,6491 - 0,0152 \cdot x$, де x – мольна частка MnTe.

вакансій V_{Cd}^{\bullet} у катіонній підґратці відповідно:

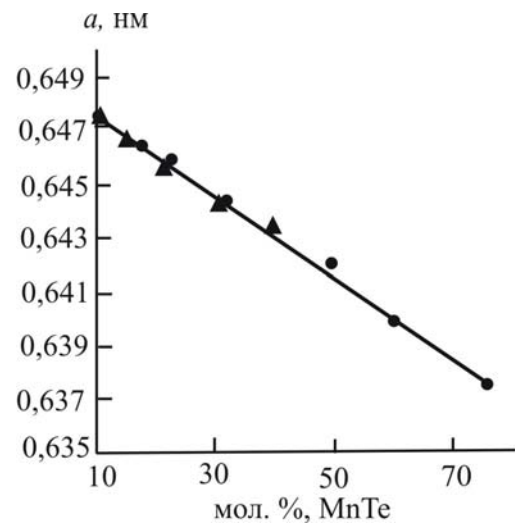
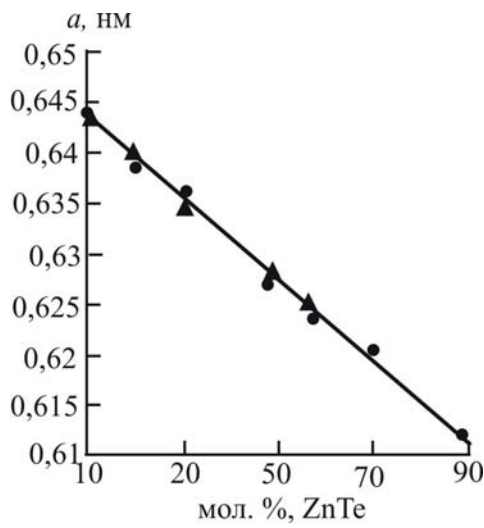


Рис. 1. Залежність параметра кристалічної ґратки твердих розчинів від складу: а – $\text{Cd}_{1-x}\text{Zn}_x\text{Te}$ (● – дані [13]); б – $\text{Cd}_{1-x}\text{Mn}_x\text{Te}$ (● – дані [14], ▲ – дані нашої роботи).

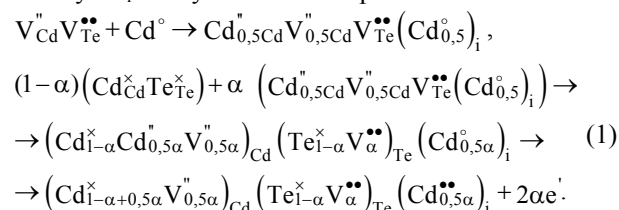
Зменшення параметра ґратки для твердих розчинів $\text{Cd}_{1-x}\text{Zn}_x\text{Te}$, $\text{Cd}_{1-x}\text{Mn}_x\text{Te}$ із ростом складу (рис. 1) пов'язане із тим, що іонні радіуси заміщуючих іонів $R(\text{Zn}^{2+}) = 0,84 \text{ \AA}$ і $R(\text{Mn}^{2+}) = 0,92 \text{ \AA}$ на $0,11$ і $0,03 \text{ \AA}$ є меншими ніж радіус заміщеного кадмію $R(\text{Cd}^{2+}) = 0,95 \text{ \AA}$ [15].

Електричні параметри кристалів $\text{Cd}_{1-x}\text{Zn}_x\text{Te}$, $\text{Cd}_{1-x}\text{Mn}_x\text{Te}$ вимірювали при кімнатній температурі компенсаційним методом у постійних електричних і магнітних полях. Концентрація електронів для n- $\text{Cd}_{1-x}\text{Zn}_x\text{Te}$ ($0 \leq x \leq 0,2$) при 300 К становила $10^{14} - 10^{16} \text{ см}^{-3}$ і з ростом складу ZnTe зменшувалася [16]. Концентрація дірок для p- $\text{Cd}_{1-x}\text{Mn}_x\text{Te}$ ($0 \leq x \leq 0,1$) при 300 К і з ростом складу MnTe також зменшувалася і знаходилася в межах $10^{15} - 10^{16} \text{ см}^{-3}$ [7].

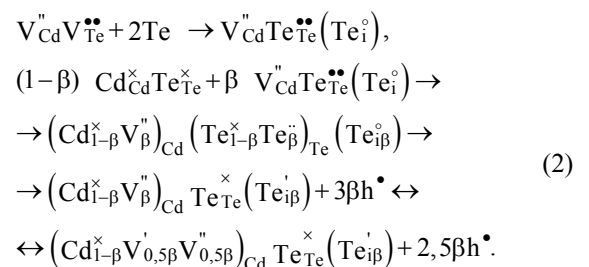
II. Кристалоквазіхімічні рівняння дефектів

3.1. Нестехіометричний кадмій телурид

Згідно уявленню кристалоквазіхімії нестехіометричний телурид кадмію з надлишком кадмію за умови утворення міжвузлових атомів металу Cd_i описується такими рівняннями:



При надлишку телуру і наявності міжвузлового атома телуру Te_i^{\cdot} та одно- V_{Cd}^{\bullet} і дво зарядних



Де, α і β – відхилення від стехіометрії. При аналізі рівнянь (1), (2) видно, що електронний тип провідності телуриду кадмію пов'язаний дефектами: V_{Te}^{\bullet} , $\text{Cd}_i^{\bullet\bullet}$, які утворюються за рахунок надлишкового кадмію, а дірковий – із вакансіями V_{Cd}^{\bullet} , V_{Cd}^{\times} і міжвузловим атомом Te_i^{\cdot} . Тут x – нейтральні, \bullet – позитивні, $'$ – негативні заряди; кількість цих знаків відповідає кратності іонізації, e^{\cdot} – концентрація електронів, h^{\bullet} – концентрація дірок.

На основі приведених кристалоквазіхімічних рівнянь (1), (2) нестехіометричного кадмій телуриду можна розрахувати концентрацію точкових дефектів і носіїв струму для заданого відхилення від стехіометрії α , β . Для розрахунку використовували запропоновану методику в роботі [17]. α , β визначали як максимальне відхилення Cd в CdTe із p-T-x-діаграм в області гомогенності сполуки приведених в роботах [18,19] Залежність параметра ґратки від концентрації носіїв струму кристалів CdTe взято із роботи [20]. Необхідно відзначити, що заряди дефектів у кристалоквазіхімічних рівняннях є нецілочисельними так як сполуки $\text{A}^{\text{II}}\text{B}^{\text{VI}}$ характеризуються змішаним ковалентно-іонним зв'язком. Тому, при проведенні розрахунків

Таблиця 1

Розраховані концентрації дефектів та носіїв струму у n-CdTe

α , ат. %	a , нм	$V_{Te}^{\bullet\bullet}$, $см^{-3}$	$Cd_i^{\bullet\bullet}$, $см^{-3}$	V_{Cd}'' , $см^{-3}$	n , $см^{-3}$	n_H , $см^{-3}$
$7 \cdot 10^{-5}$	0,6482	$8,23 \cdot 10^{15}$	$4,11 \cdot 10^{15}$	$4,11 \cdot 10^{15}$	$8,23 \cdot 10^{15}$	$8,23 \cdot 10^{15}$
$3 \cdot 10^{-3}$	0,6481	$3,53 \cdot 10^{17}$	$1,76 \cdot 10^{17}$	$1,76 \cdot 10^{17}$	$3,53 \cdot 10^{17}$	$3,53 \cdot 10^{17}$
$8 \cdot 10^{-3}$	0,6481	$9,41 \cdot 10^{17}$	$4,70 \cdot 10^{17}$	$4,70 \cdot 10^{17}$	$9,41 \cdot 10^{17}$	$9,41 \cdot 10^{17}$
$4 \cdot 10^{-1}$	0,6480	$4,70 \cdot 10^{19}$	$2,35 \cdot 10^{19}$	$2,35 \cdot 10^{19}$	$4,70 \cdot 10^{19}$	$4,70 \cdot 10^{19}$
1	0,6480	$1,17 \cdot 10^{20}$	$5,88 \cdot 10^{19}$	$5,88 \cdot 10^{19}$	$1,17 \cdot 10^{20}$	$1,17 \cdot 10^{20}$

Таблиця 2

Розраховані концентрації дефектів та носіїв струму у p-CdTe

β , ат. %	a , нм	V_{Cd}' , $см^{-3}$	V_{Cd}'' , $см^{-3}$	Te_i' , $см^{-3}$	p , $см^{-3}$	n_H , $см^{-3}$
$9,2 \cdot 10^{-3}$	0,6484	$2,70 \cdot 10^{17}$	$5,41 \cdot 10^{17}$	$5,41 \cdot 10^{17}$	$1,35 \cdot 10^{18}$	$1,35 \cdot 10^{18}$
$1,6 \cdot 10^{-2}$	0,6483	$4,70 \cdot 10^{17}$	$9,41 \cdot 10^{17}$	$9,41 \cdot 10^{17}$	$2,35 \cdot 10^{18}$	$2,35 \cdot 10^{18}$
$9 \cdot 10^{-1}$	0,6480	$2,64 \cdot 10^{19}$	$5,29 \cdot 10^{19}$	$5,29 \cdot 10^{19}$	$1,32 \cdot 10^{20}$	$1,32 \cdot 10^{20}$

враховували, що зв'язок Cd-Te має 21% іонності [21]. Результати розрахунків приведені у табл. 1, 2.

Холлівська концентрація носіїв струму (n_H) визначається як різниця концентрацій вільних носіїв – електронів (n) і дірок (p)

$$n_H = n - p \quad (3)$$

При утворенні n-CdTe рівняння електронейтральності згідно (1) має вигляд:

$$\alpha [V_{Te}^{\bullet\bullet}] + 0,5\alpha [Cd_i^{\bullet\bullet}] = 0,5\alpha [V_{Cd}''] + n, \quad (4)$$

$$\text{де } n = 2\alpha e', p = 0.$$

Тоді $n_H = \alpha [V_{Te}^{\bullet\bullet}] + 0,5\alpha [Cd_i^{\bullet\bullet}] - 0,5\alpha [V_{Cd}'']$.

Рівняння електронейтральності для p-CdTe згідно рівняння (2):

$$0,5\beta [V_{Cd}'] + [V_{Cd}''] + \beta [Te_i'] = p, \quad (5)$$

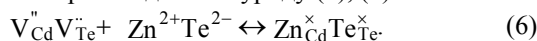
$$\text{де } p = 2,5\beta h^*, n = 0.$$

$$\text{Тоді } n_H = 0,5\beta [V_{Cd}'] + 0,5\beta [V_{Cd}''] + \beta [Te_i'].$$

Із проведених розрахунків видно (табл. 1), що із зростанням надстехіометричного кадмію має місце значне збільшення вакансій телуру, які є відповідальними за значення концентрації носіїв струму (n_H). Двозарядний міжвузловий кадмій повністю компенсується вакансіями V_{Cd}'' (табл. 1). У p-CdTe домінують вакансії кадмію (табл. 2) і міжвузлові атоми телуру.

3.2. Твердий розчин $Cd_{1-x}Zn_xTe$

Кристалоквазіхімічні рівняння для твердих розчинів $Cd_{1-x}Zn_xTe$ одержимо аналогічно як і для нестехіометрії з кадмій телуриду (1), (2):



Суперпозиція n-CdTe (1) з (3) призводить до:

$$\begin{aligned} (1-x) \left[(Cd_{1-\alpha+0,5\alpha}^x V_{0,5\alpha}'')_{Cd} (Te_{1-\alpha}^x V_{\alpha}^{\bullet\bullet})_{Te} (Cd_{0,5\alpha}^{\bullet\bullet})_i + 2\alpha e' \right] + x (Zn_{Cd}^x Te_{Te}^x) \rightarrow \\ \rightarrow (Cd_{((1-\alpha)+0,5\alpha)(1-x)}^x V_{0,5\alpha(1-x)}'' Zn_x^x)_{Cd} (Te_{(1-\alpha)(1-x)+x}^x V_{\alpha(1-x)}^{\bullet\bullet})_{Te} (Cd_{0,5\alpha(1-x)}^{\bullet\bullet})_i + 2\alpha(1-x)e'. \end{aligned} \quad (7)$$

Накладання кристалоквазіхімічного рівняння p-

CdTe (2) з легуючим кластером (3) дає рівняння:

$$\begin{aligned} (1-x) \left[(Cd_{1-\beta}^x V_{0,5\beta}' V_{0,5\beta}'')_{Cd} Te_{Te}^x (Te_{i\beta}') + 2,5\beta h^* \right] + x (Zn_{Cd}^x Te_{Te}^x) \rightarrow \\ \rightarrow (Cd_{(1-\beta)(1-x)}^x Zn_x^x V_{0,5\beta(1-x)}' V_{0,5\beta(1-x)}'')_{Cd} Te_{Te}^x (Te_{i\beta(1-x)}') + 2,5\beta(1-x)h^*. \end{aligned} \quad (8)$$

Таким чином, твердий розчин $Cd_{1-x}Zn_xTe$ при надлишку металу описується рівнянням (7), при

Особливості дефектної підсистеми монокристалів...

надлишку телуру – рівнянням (8). Із цих рівнянь видно, що концентрація основних носіїв струму зменшується на величину $(1-x)$, де x – мольна частка легуючої сполуки. Зменшення концентрації основних носіїв пояснюється залікуванням вакансій V_{Cd} , V_{Te} іонами цинку і телуру.

Розрахунок концентрації точкових дефектів і носіїв струму у твердому розчині $n\text{-Cd}_{1-x}\text{Zn}_x\text{Te}$ ($0 \leq x \leq 0,2$) проводили як і для нестехіометричного кадмій телуриду з використанням рівняння (7).

Рівняння електронейтральності згідно (7) має вигляд:
 $\alpha(1-x)[V_{Te}^{**}] + 0,5\alpha(1-x)[Cd_i^{**}] = 0,5\alpha(1-x)[V_{Cd}'] + n$, (9)

де $n = 2\alpha(1-x)e'$, $p = 0$.

Тоді

$$n_n = \alpha(1-x)[V_{Te}^{**}] + 0,5\alpha(1-x)[Cd_i^{**}] - 0,5\alpha(1-x)[V_{Cd}'].$$

Значення концентрацій вільних носіїв n , холлівської концентрації n_n , вакансій телуру (табл. 3) мають однакові значення і зменшуються із ростом складу

Таблиця 3

Розраховані концентрації дефектів та носіїв струму у твердому розчині $n\text{-Cd}_{1-x}\text{Zn}_x\text{Te}$

α , %	a , нм	x	V_{Te}^{**} , см^{-3}	Cd_i^{**} , см^{-3}	V_{Cd}' , см^{-3}	n , см^{-3}	n_n , см^{-3}
$5,2 \cdot 10^{-5}$	0,6460	0,03	$5,38 \cdot 10^{15}$	$2,69 \cdot 10^{15}$	$2,69 \cdot 10^{15}$	$5,38 \cdot 10^{15}$	$5,38 \cdot 10^{15}$
	0,6456	0,04	$5,34 \cdot 10^{15}$	$2,67 \cdot 10^{15}$	$2,67 \cdot 10^{15}$	$5,34 \cdot 10^{15}$	$5,34 \cdot 10^{15}$
	0,6448	0,06	$5,25 \cdot 10^{15}$	$2,62 \cdot 10^{15}$	$2,62 \cdot 10^{15}$	$5,25 \cdot 10^{15}$	$5,25 \cdot 10^{15}$
	0,6432	0,1	$5,06 \cdot 10^{15}$	$2,53 \cdot 10^{15}$	$2,53 \cdot 10^{15}$	$5,06 \cdot 10^{15}$	$5,06 \cdot 10^{15}$
	0,6392	0,2	$4,58 \cdot 10^{15}$	$2,29 \cdot 10^{15}$	$2,29 \cdot 10^{15}$	$4,58 \cdot 10^{15}$	$4,58 \cdot 10^{15}$
$7 \cdot 10^{-5}$	0,6460	0,03	$7,25 \cdot 10^{15}$	$3,62 \cdot 10^{15}$	$3,62 \cdot 10^{15}$	$7,25 \cdot 10^{15}$	$7,25 \cdot 10^{15}$
	0,6456	0,04	$7,19 \cdot 10^{15}$	$3,59 \cdot 10^{15}$	$3,59 \cdot 10^{15}$	$7,19 \cdot 10^{15}$	$7,19 \cdot 10^{15}$
	0,6448	0,06	$7,06 \cdot 10^{15}$	$3,53 \cdot 10^{15}$	$3,53 \cdot 10^{15}$	$7,06 \cdot 10^{15}$	$7,06 \cdot 10^{15}$
	0,6432	0,1	$6,81 \cdot 10^{15}$	$3,41 \cdot 10^{15}$	$3,41 \cdot 10^{15}$	$6,81 \cdot 10^{15}$	$6,81 \cdot 10^{15}$
	0,6392	0,2	$6,17 \cdot 10^{15}$	$3,08 \cdot 10^{15}$	$3,08 \cdot 10^{15}$	$6,17 \cdot 10^{15}$	$6,17 \cdot 10^{15}$
$8,5 \cdot 10^{-4}$	0,6460	0,03	$8,81 \cdot 10^{16}$	$4,40 \cdot 10^{16}$	$4,40 \cdot 10^{16}$	$8,81 \cdot 10^{16}$	$8,81 \cdot 10^{16}$
	0,6456	0,04	$8,73 \cdot 10^{16}$	$4,36 \cdot 10^{16}$	$4,36 \cdot 10^{16}$	$8,73 \cdot 10^{16}$	$8,73 \cdot 10^{16}$
	0,6448	0,06	$8,58 \cdot 10^{16}$	$4,29 \cdot 10^{16}$	$4,29 \cdot 10^{16}$	$8,58 \cdot 10^{16}$	$8,58 \cdot 10^{16}$
	0,6432	0,1	$8,27 \cdot 10^{16}$	$4,14 \cdot 10^{16}$	$4,14 \cdot 10^{16}$	$8,27 \cdot 10^{16}$	$8,27 \cdot 10^{16}$
	0,6392	0,2	$7,49 \cdot 10^{16}$	$3,75 \cdot 10^{16}$	$3,75 \cdot 10^{16}$	$7,49 \cdot 10^{16}$	$7,49 \cdot 10^{16}$

Таблиця 4

Розраховані концентрації дефектів та носіїв струму у твердому розчині $p\text{-Cd}_{1-x}\text{Mn}_x\text{Te}$

β , %	a , нм	x	V_{Cd}' , см^{-3}	V_{Cd}'' , см^{-3}	p , см^{-3}	n_n , см^{-3}
$1,6 \cdot 10^{-5}$	0,6487	0,02	$4,59 \cdot 10^{14}$	$9,19 \cdot 10^{14}$	$1,38 \cdot 10^{15}$	$1,38 \cdot 10^{15}$
	0,6484	0,04	$4,51 \cdot 10^{14}$	$9,02 \cdot 10^{14}$	$1,35 \cdot 10^{15}$	$1,35 \cdot 10^{15}$
	0,6481	0,06	$4,41 \cdot 10^{14}$	$8,84 \cdot 10^{14}$	$1,32 \cdot 10^{15}$	$1,32 \cdot 10^{15}$
	0,6475	0,1	$4,24 \cdot 10^{14}$	$8,49 \cdot 10^{14}$	$1,27 \cdot 10^{15}$	$1,27 \cdot 10^{15}$
	0,6464	0,2	$3,79 \cdot 10^{14}$	$7,58 \cdot 10^{14}$	$1,14 \cdot 10^{15}$	$1,14 \cdot 10^{15}$
$6,4 \cdot 10^{-5}$	0,6487	0,02	$1,83 \cdot 10^{15}$	$3,67 \cdot 10^{15}$	$5,51 \cdot 10^{15}$	$5,51 \cdot 10^{15}$
	0,6484	0,04	$1,80 \cdot 10^{15}$	$3,61 \cdot 10^{15}$	$5,40 \cdot 10^{15}$	$5,40 \cdot 10^{15}$
	0,6481	0,06	$1,76 \cdot 10^{15}$	$3,53 \cdot 10^{15}$	$5,31 \cdot 10^{15}$	$5,31 \cdot 10^{15}$
	0,6475	0,1	$1,69 \cdot 10^{15}$	$3,39 \cdot 10^{15}$	$5,09 \cdot 10^{15}$	$5,09 \cdot 10^{15}$
	0,6464	0,2	$1,51 \cdot 10^{15}$	$3,03 \cdot 10^{15}$	$4,55 \cdot 10^{15}$	$4,55 \cdot 10^{15}$
$9,2 \cdot 10^{-3}$	0,6487	0,02	$2,64 \cdot 10^{17}$	$5,28 \cdot 10^{17}$	$7,93 \cdot 10^{17}$	$7,93 \cdot 10^{17}$
	0,6484	0,04	$2,59 \cdot 10^{17}$	$5,18 \cdot 10^{17}$	$7,77 \cdot 10^{17}$	$7,77 \cdot 10^{17}$
	0,6481	0,06	$2,54 \cdot 10^{17}$	$5,08 \cdot 10^{17}$	$7,62 \cdot 10^{17}$	$7,62 \cdot 10^{17}$
	0,6475	0,1	$2,44 \cdot 10^{17}$	$4,88 \cdot 10^{17}$	$7,32 \cdot 10^{17}$	$7,32 \cdot 10^{17}$
	0,6464	0,2	$2,18 \cdot 10^{17}$	$4,36 \cdot 10^{17}$	$6,54 \cdot 10^{17}$	$6,54 \cdot 10^{17}$

ZnTe. Відповідальними за n-тип провідності кристалів є вакансії телуру V_{Te}^{2-} в аніонній підґратці (рис. 3 – крива 3). При цьому ефективність аніонних вакансій зростає із збільшенням надстехіометрії кадмію у CdTe і зменшується із ростом складу ZnTe (табл. 3). Вакансії кадмію V_{Cd}^{2-} і міжвузлові атоми кадмію Cd_i^{2+} повністю компенсуються між собою

(рис. 3 – криві 1,2). Відзначені залежності є характерними для різних значень надстехіометричного кадмію (табл. 3).

2.2. Твердий розчин $Cd_{1-x}Mn_xTe$

В твердому розчині p-Cd_{1-x}Mn_xTe (0 ≤ x ≤ 0,2) проводили розрахунок концентрації точкових дефектів і носіїв струму за рівнянням приведеним нижче:

$$(1-x) \left[(Cd_{1-\beta}^{x} V_{0,5\beta}^{2-} V_{0,5\beta}^{2-})_{Cd}^{x} Te_{Te}^{x} + 1,5\beta h^{\bullet} \right] + x (Mn_{Cd}^{x} Te_{Te}^{x}) \rightarrow$$

$$\rightarrow (Cd_{(1-\beta)(1-x)}^{x} V_{0,5\beta(1-x)}^{2-} V_{0,5\beta(1-x)}^{2-} Mn_x^{x})_{Cd}^{x} Te_{Te}^{x} + 1,5\beta(1-x)h^{\bullet}.$$

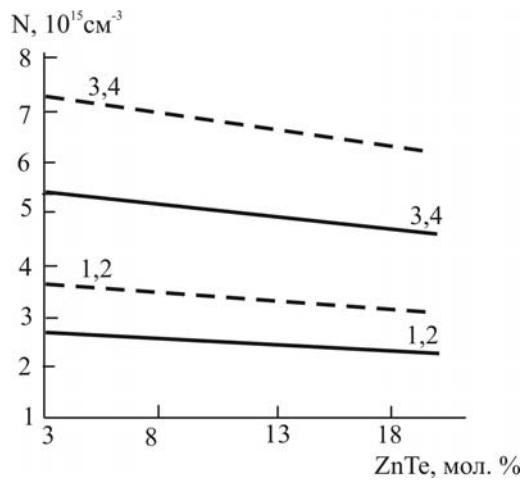
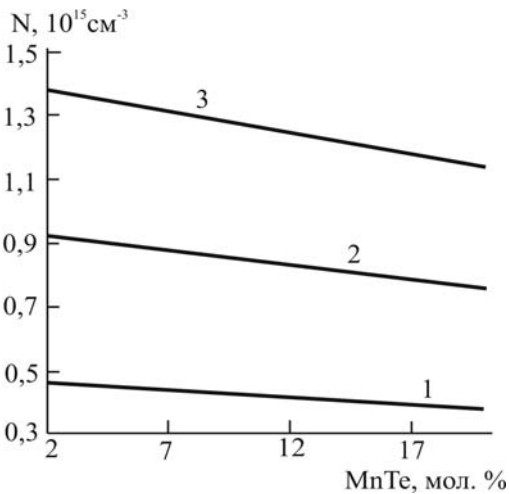
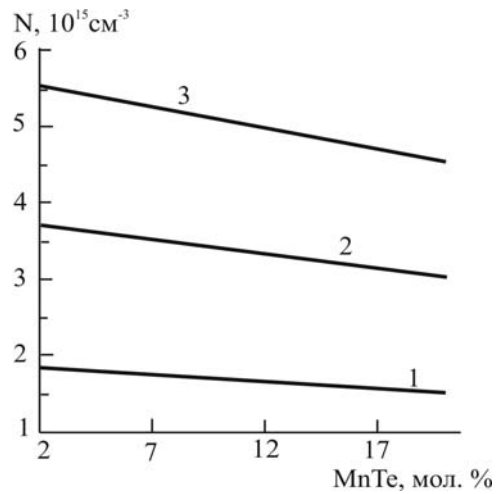


Рис. 3. Розраховані значення концентрації дефектів [N] і холлівської концентрації носіїв струму (n_H) системи n-CdTe-ZnTe при надстехіометрії кадмію α : суцільні лінії – $5 \cdot 10^{-5}$ ат.%, штрихові лінії – $7 \cdot 10^{-5}$ ат.%; 1 – Cd_i^{2+} , 2 – V_{Cd}^{2-} , 3- V_{Te}^{2-} , 4- n_H .



а)



б)

Рис. 4. Розраховані значення концентрації дефектів [N] і холлівської концентрації носіїв струму (n_H) системи p-CdTe-MnTe при надстехіометрії телуру β : а – $-1,6 \cdot 10^{-5}$ ат.%, б – $6,4 \cdot 10^{-5}$ ат.%, 1 – V_{Cd}^{-} , 2 – V_{Cd}^{2-} , 3 – n_H .

Рівняння електронейтральності для $p\text{-Cd}_{1-x}\text{Mn}_x\text{Te}$ згідно рівняння (10) буде:

$$0,5\beta(1-x)[V'_{\text{Cd}}] + 0,5\beta(1-x)[V''_{\text{Cd}}] = p, \quad (11)$$

де $p = 1,5\beta(1-x)h^*$, $n = 0$.

$$\text{Тоді } n_n = 0,5\beta(1-x)[V'_{\text{Cd}}] + 0,5\beta(1-x)[V''_{\text{Cd}}].$$

З аналізу залежностей вільних носіїв p і холлівської концентрації n_n (табл. 4) видно, що вони одного порядку. При цьому відповідальними за p -тип провідності матеріалу є одно- і двозаряджені вакансії кадмію V'_{Cd} , V''_{Cd} , концентрація яких із збільшенням вмісту MnTe зменшується (рис. 4 – криві 1, 2). Переважаючими акцепторами у $p\text{-Cd}_{1-x}\text{Mn}_x\text{Te}$ є двозарядні вакансії кадмію V''_{Cd} (рис. 4 – крива 3), ефективність яких зростає із збільшенням надстехіометрії телуру (β) у CdTe і зменшується із ростом складу MnTe у твердому розчині (табл. 4). Розраховані значення холлівської концентрації носіїв струму також зменшуються (рис. 4 – крива 1).

Висновки

1. На основі запропонованої моделі дефектної підсистеми у n - і $p\text{-CdTe}$ з різним відхиленням від стехіометрії розраховано концентрацію точкових

дефектів і носіїв заряду.

2. Методом кристалоквазіхімії проаналізовано процеси дефектоутворення у твердих розчинах $n\text{-Cd}_{1-x}\text{Zn}_x\text{Te}$, $p\text{-Cd}_{1-x}\text{Mn}_x\text{Te}$.

3. Показано, що у твердих розчинах $\text{Cd}_{1-x}\text{Zn}_x\text{Te}$, $\text{Cd}_{1-x}\text{Mn}_x\text{Te}$ утворення дефекту заміщення Zn_{Cd} і Mn_{Cd} призводить до зменшення сталої ґратки сфалеритної структури з ростом складу.

4. На основі кристалоквазіхімічних рівнянь виконано розрахунок концентрації точкових дефектів і носіїв струму $n\text{-Cd}_{1-x}\text{Zn}_x\text{Te}$ і $p\text{-Cd}_{1-x}\text{Mn}_x\text{Te}$.

5. Зменшення концентрації вільних носіїв у твердих розчинах із ростом складу згідно запропонованих моделей узгоджується з експериментальними результатами вимірювання ефекту Холла.

Фреїк Д.М. – доктор хімічних наук, професор, директор Фізико-хімічного інституту, завідувач кафедри фізики і хімії твердого тіла;

Дмитрів А.М. – аспірант кафедри фізики і хімії твердого тіла;

Жуковські П.В. – доктор наук, асоційований професор;

Межиловська Л.Й. – кандидат фізико-математичних наук, доцент.

- [1] G. Bertuccio, G. Ferrari, P. Gallina, M. Sampietro, E. Caroli, A. Donati, W. Dusi. Experimental Analysis of Current Noise Spectra in CdTe Detectors // *Proc. SPIE*, vol. 3768, pp. 402-408 (1999).
- [2] L.A. Hamel, O. Tousignant, M. Couillard, J.F. Courville, V.T. Jordanov. An Imaging CdZnTe Detector with Coplanar Orthogonal Anode Strips // *Proceedings of MRS*, vol. 487, pp. 211-216 (1998).
- [3] Д.В. Корбутяк, С.В. Мельничук, П.М. Ткачук. Домішково-дефектна структура $\text{CdTe}:\text{Cl}$ – матеріалу для детекторів іонізуючого випромінювання (Огляд) // *Український фізичний журнал*, **44**(6), сс. 730-737 (1999).
- [4] *Полупроводниковые твердые растворы и их применение: Справочные таблицы* / Н.Н. Берченко, В.Е. Кревс, В.Г. Средин. Воениздат, М. 208 с. (1982).
- [5] А.И. Белогорохов, В.М. Лакеенков, Л.И. Белогорохова. Оптические свойства монокристаллов $\text{Cd}_{1-x}\text{Zn}_x\text{Te}$ ($0 < x < 0.1$) в инфракрасном диапазоне длин волн // *Физика и техника полупроводников*, **35**(7), сс. 808-811 (2001).
- [6] Л.А. Косяченко, А.В. Марков, Е.Л. Масляничук, И.М. Раренко, В.М. Склярчук. Особенности электропроводности монокристаллов $\text{Cd}_{1-x}\text{Zn}_x\text{Te}$ и $\text{Cd}_{1-x}\text{Mn}_x\text{Te}$ // *Физика и техника полупроводников*, **37**(12), сс. 1420-1426 (2003).
- [7] А.И. Власенко, В.Н. Бабенцов, З.К. Власенко, С.В. Свечников, И. М. Раренко, З.И. Захарук, Е.С. Никонюк, В.Л. Шляховый. Акцепторы в $\text{Cd}_{1-x}\text{Mn}_x\text{Te}$ ($x < 0,1$) // *Физика и техника полупроводников*, **31**(8), сс. 1017-1020 (1997).
- [8] V.K. Komar, H. Hermon, M.S. Goorsky et al. *Semiconductors for Room Temperature Radiation Detector applications II*, ed. by R.B. James (Pittsburgh, PA, 1998). Mater. Res. Sos., 487 (1998).
- [9] Н.К. Морозова, И.А. Каретников, В.В. Блинов, В.К. Комарь, В.Г. Галстян, В.С. Зимгорский. Зависимость свойств кристаллов $\text{Cd}_{1-x}\text{Zn}_x\text{Te}$ от типа собственных точечных дефектов и форм присутствия кислорода // *Физика и техника полупроводников*, **33**(5), сс. 569-573 (1999).
- [10] Д.М. Фреїк, А.М. Дмитрів, П.В. Жуковські, Л.Й. Межиловська. Атомні дефекти і фізико-хімічні властивості твердих розчинів $\text{Cd}_{1-x}\text{Mn}_x\text{Te}$ з участю кисню при відпалі // *Фізика і хімія твердого тіла*, **5**(1), сс. 147-152 (2004).
- [11] Л.Й. Межиловська, А.М. Дмитрів, П.В. Жуковські. Кристалоквазіхімія атомних дефектів твердих розчинів $\text{Cd}_{1-x}\text{Zn}_x\text{Te}$ з участю кисню // *Фізика і хімія твердого тіла*, **5**(2), сс. 325-329 (2004).
- [12] И.Н. Один, М.В. Чукичев, М.Э. Рубина. Фазовая диаграмма и люминесцентные свойства растворов системы CdTe-MnTe // *Изв. АН СССР. Неорганические материалы*, **39**(4), сс. 425-428 (2003).
- [13] Г.М. Григорович, М.А. Рувинский. // *Физика и техника полупроводников*, **5**, сс. 742 (1971).

- [14] М.Н. Мамонтов, Л.Г. Севастьянова. Фазовые соотношения в тройной системе CdTe-MnTe-Te при 643 К // *Неорганические материалы*, **32**(7), сс. 810-815 (1996).
- [15] В.М. Лебедев. *Ионно-атомные радиусы и их значения для геохимии и химии*. Изд-во Ленингр. унив-та, с. 156 (1969).
- [16] А.И. Белогорохов, Л.И. Белогорохова, А.Г. Белов, В.М. Лакеенков, Н.А. Смирнова. К вопросу о поглощении инфракрасного излучения свободными носителями заряда в n-Cd_{1-x}Zn_xTe // *Физика и техника полупроводников*, **33**(5), сс. 549-552 (1999).
- [17] Л.Й. Межиловська, А.М. Дмитрів, Д.М. Фреїк, П.В. Жуковскі. Точкові дефекти твердого розчину Cd_xHg_{1-x}Te // *Фізика і хімія твердого тіла*, **5**(4), сс. 792-798 (2004).
- [18] О.А. Матвеев, А.И. Терентьев. Самокомпенсация в CdTe<Cl> в условиях фазового равновесия кристалл-пар кадмия (теллура) // *Физика и техника полупроводников*, **32**(2), сс. 159-163 (1998).
- [19] В.М. Глазов, Л.М. Павлова. Область гомогенности на основе теллурида кадмия в системе кадмий-теллур. // *Неорганические материалы*, **30**(5), сс. 629-634 (1994).
- [20] С.А. Медведев, С.Н. Максимовский, К.В. Киселева, Ю.В. Клевков, Н.Н. Сентюрин. О природе точечных дефектов в легированном CdTe // *Изв. АН СССР. Неорганические материалы*, **9**(3), сс. 356-360 (1973).
- [21] К.В. Шалимова, В.А. Дмитриев. Изменение типа стабильной структуры в ряду соединений A^{II}B^{VI} // *Кристаллография*, **17**(3), сс. 541-544 (1972).

D. Freik, A. Dmytriv, L. Mezhylovska, P. Zukowski*

The Features of Cd_{1-x}Zn_xTe, Cd_{1-x}Mn_xTe Crystals Defect Subsystem

Vasyl Stefanyk' Prekarpathian University,
201, Galytska Str., Ivano-Frankivsk, 76000, Ukraine, E-mail: freik@pu.if.ua
*Lyubli Technical University, 20-618 Lyublin, Poland
E-mail: mario@elektron.pol.lublin.pl

There are proposed the mechanisms of formation of the n-Cd_{1-x}Zn_xTe, p-Cd_{1-x}Mn_xTe solid solutions on the base of crystal-quasichemistry methods. The both concentration of the point defects and charge carriers are calculated.